

УДК 539.3

© 1993 г. А. Т. ВАСИЛЕНКО, Н. Д. ПАНКРАТОВА

## ЧИСЛЕННО-АНАЛИТИЧЕСКОЕ РЕШЕНИЕ ЗАДАЧ ТЕОРИИ УПРУГОСТИ ДЛЯ НЕОДНОРОДНОЙ СРЕДЫ СО СФЕРИЧЕСКОЙ ПОЛОСТЬЮ ИЛИ ВКЛЮЧЕНИЕМ

Задачи о распределении напряжений в упругой среде с учетом полостей и включений являются предметом многочисленных исследований. Обзор полученных по ним результатов дан в [1—3]. Интерес к этому классу задач обусловлен, с одной стороны, необходимостью исследования концентрации напряжений в пространственной постановке и их значимостью для развития механики композиционных материалов [4, 5], а также приложением их к задачам горной механики [6, 7].

Задачи о температурных напряжениях, в том числе и обусловленных различием коэффициентов температурного расширения материалов среды и включения, рассматривались в [8—10]. Наиболее полно рассмотрены задачи данного вида в случае, когда упругая среда и включение являются однородными изотропными или трансверсально-изотропными. Аналитические подходы к решению таких задач основываются на использовании представления решений уравнений равновесия в перемещениях через потенциальные функции. Анизотропия и неоднородность материала существенно усложняют решение задач рассматриваемого класса с доведением их до конкретных числовых результатов [11, 12].

В публикуемой работе предлагается численно-аналитический подход к исследованию напряженного состояния неоднородной упругой среды в окрестности сферической полости или неоднородного сферического включения слоистой структуры. Напряженное состояние представляется в виде суперпозиции двух состояний: основного, записанного в аналитическом виде, и возмущенного, находящегося с помощью численного метода. Анализируется влияние неоднородности материала среды и структуры включения.

1. Рассматривается задача о распределении напряжений в окрестности сферической полости или сферического включения в трансверсально-изотропной среде, упругие характеристики которой являются заданными функциями расстояния от центра полости (включения). Включение представляет собой сплошной или полый упругий шар, собранный из трансверсально-изотропных жестко скрепленных между собой неоднородных слоев. Также предполагаем, что включение жестко скреплено со средой, вследствие чего исключаются его отрыв и проскальзывание.

В соответствии с принятой постановкой для такого класса задач предлагается, что на бесконечности среда является изотропной и однородной и подвергается действию растягивающих или сжимающих напряжений, что в декартовых координатах  $x, y, z$  записывается следующим образом:

$$\sigma_z = \sigma_0, \quad \sigma_x = \sigma_y = \tau_0 \quad (1.1)$$

Для решения поставленной задачи используем прием, аналогичный применяемому в задаче о концентрации напряжений в пластинке, ослабленной круглым отверстием [13]. В соответствии с ним решение представим в виде суммы двух, одно из которых соответствует основному напряженному состоянию (1.1), а другое — возмущенному, вызванному наличием полости или включения. Ос-

новное напряженное состояние в сферических координатах  $r, \varphi, \theta$  имеет компоненты ( $P_n = P_n(\cos \varphi)$  — полиномы Лежандра):

$$\sigma_r^0(\varphi) = 1/3 (\sigma_0 + 2\tau_0) P_0 + 2/3 (\sigma_0 - \tau_0) P_2 \cos \varphi \quad (1.2)$$

$$\tau_{r\varphi}^0(\varphi) = 1/3 (\sigma_0 - \tau_0) dP_2(\cos \varphi)/d\varphi$$

$$\sigma_\varphi^0(\varphi) = 1/3 (2\sigma_0 + \tau_0) P_0 - 2/3 (\sigma_0 - \tau_0) P_2(\cos \varphi)$$

$$\sigma_\theta^0(\varphi) = \tau_0$$

Представим себе в общем случае слоистую полую сферу, выделенную из рассматриваемой среды. Внутренний радиус такой сферы совпадает с радиусом полости  $r = r_0$ . Внешний радиус  $r = r_N$  является достаточно большим по сравнению с радиусом полости. При этом внешняя  $r = r_N$  и внутренняя  $r = r_0$  поверхности сферы должны быть нагружены соответствующим образом, а именно внешняя поверхность должна быть свободна от напряжений

$$\sigma_r(r_N, \varphi) = \tau_{r\varphi}(r_N, \varphi) = 0 \quad (1.3)$$

а внутренняя подвержена действию нагрузок

$$\sigma_r(r_0, \varphi) = -\sigma_r^0(\varphi) + P_0(\varphi) \quad (1.4)$$

$$\tau_{r\varphi}(r_0, \varphi) = -\tau_{r\varphi}^0(\varphi) + q_0(\varphi)$$

где  $p_0, q_0$  — заданные на поверхности полости самоуравновешенные воздействия. В частном случае свободной полости  $p_0 = q_0 = 0$ .

Таким образом, возмущенное напряженное состояние определяется решением краевой задачи для осесимметрично нагруженной многослойной сферы, собранной из трансверсально-изотропных неоднородных материалов, при граничных условиях (1.3) и (1.4) и условиях совместной работы смежных слоев на поверхностях их контакта  $r = r_i$  ( $i = 1, 2, \dots, N-1$ ):

$$\sigma_r^i(r_i, \varphi) = \sigma_r^{i+1}(r_i, \varphi), \quad \tau_{r\varphi}^i(r_i, \varphi) = \tau_{r\varphi}^{i+1}(r_i, \varphi) \quad (1.5)$$

$$u_r^i(r_i, \varphi) = u_r^{i+1}(r_i, \varphi), \quad u_\varphi^i(r_i, \varphi) = u_\varphi^{i+1}(r_i, \varphi)$$

где  $i$  — номер слоя,  $u_r^i, u_\varphi^i$  — смещения  $i$ -го слоя. Используя соотношения теории упругости неоднородной анизотропной среды в сферической системе координат, для определения компонент возмущенного напряженного состояния получаем систему дифференциальных уравнений в частных производных [14]:

$$\partial \bar{\sigma}^i / \partial r = A^i(r, \varphi) \bar{\sigma}^i, \quad \bar{\sigma}^i = \{\sigma_r^i, \tau_{r\varphi}^i, u_r^i, u_\varphi^i\} \quad (1.6)$$

Элементы матрицы  $A$  содержат также производные по координате  $\varphi$ .

Раскладывая искомые функции в ряды по полиномам Лежандра и их производным, разделяя переменные в уравнениях (1.6), граничных условиях (1.3), (1.4) и условиях сопряжения (1.5) приходим для каждого члена разложений к системе обыкновенных дифференциальных уравнений [14]:

$$d\bar{\sigma}_n^i / dr = B_n^i(r) \bar{\sigma}_n^i, \quad \bar{\sigma}_n^i = \{\sigma_m^i, \tau_{r\varphi n}^i, u_m^i, u_{\varphi n}^i\} \quad (1.7)$$

и условиям, сформулированным в точках  $r_i$  ( $i = 0, 1, \dots, N$ ) интервала  $[r_0, r_N]$ . Решение одномерных краевых задач для (1.7) с учетом вышеназванных условий проводится устойчивым численным методом дискретной ортогонализации, обеспечивающим высокую точность получаемых результатов.

Решение задачи получим, складывая основное и возмущенное напряженное состояние

$$\sigma_r^{*l}(r, \varphi) = \sigma_r^0(\varphi) + \sum_{n=0}^{\infty} \sigma_{rn}^l(r) P_n(\cos \varphi) \quad (1.8)$$

$$\tau_{r\varphi}^{*l}(r, \varphi) = \tau_{r\varphi}^0(\varphi) + \sum_{n=1}^{\infty} \tau_{r\varphi n}^l(r) dP_n(\cos \varphi)/d\varphi$$

$$u_r^{*l}(r, \varphi) = u_r^0(r, \varphi) + \sum_{n=0}^{\infty} u_r^n(r) P_n(\cos \varphi)$$

$$u_{\varphi}^{*l}(r, \varphi) = u_{\varphi}^0(r, \varphi) + \sum_{n=1}^{\infty} u_{\varphi n}^l(r) dP_n(\cos \varphi)/d\varphi$$

Здесь  $u_r^0(r, \varphi)$ ,  $u_{\varphi}^0(r, \varphi)$  — смещения, соответствующие основному напряженному состоянию.

Напряжения  $\sigma_{\varphi}^{*l}(r, \varphi)$ ,  $\sigma_{\theta}^{*l}(r, \varphi)$  находятся по вычисленным величинам (1.8). Отметим, что выбор разрешающих функций в предложенном виде дает возможность при численном решении автоматически удовлетворять условиям сопряжения слоев.

Можно ожидать, что при  $r_N \gg r_0$  распределение напряжений в окрестности полости даваемое (1.8) будет таким же, как и в неограниченной среде, ослабленной сферической полостью. Достоверность результатов решенной таким образом задачи можно подтверждать сопоставлением их в частном случае однородной среды с неподкрепленной полостью с известным точным решением. Также могут быть сопоставлены результаты решения задачи при различных значениях радиуса  $r_N$ . По степени их близости можно судить о точности полученного решения. Аналогичным образом может быть построено решение и для других условий нагружения среды на бесконечности. Так, например, рассматривая изгиб напряжениями

$$\sigma_x = \sigma_0 z, \quad \sigma_y = \sigma_0 z, \quad \sigma_0 = \text{const} \quad (1.9)$$

имеем следующие выражения для компонент основного напряженного состояния

$$\sigma_r^0(r, \varphi) = 2/5 r \sigma_0 [P_1(\cos \varphi) - P_3(\cos \varphi)]$$

$$\tau_{r\varphi}^0(r, \varphi) = -1/15 r \sigma_0 [3P_1(\cos \varphi) + 2P_3(\cos \varphi)]$$

$$\sigma_{\varphi}^0(r, \varphi) = r \sigma_0 P_1(\cos \varphi)$$

$$\sigma_{\theta}^0(r, \varphi) = r \sigma_0 [3P_1(\cos \varphi) + 2P_3(\cos \varphi)]/5 \quad (1.10)$$

Вместо граничных условий (1.4) имеем  $\sigma_r(r_0, \varphi) = -\sigma_r^0(r, \varphi) + p_0(\varphi)$ ,  $\tau_{r\varphi}(r_0, \varphi) = -\tau_{r\varphi}^0(r, \varphi) + q_0(\varphi)$ . Дальнейший путь решения задачи подобен описанному выше для случая растяжения (сжатия) среды.

Аналогичным образом могут быть решены задачи о полиномиальном нагружении среды на бесконечности [3].

2. В ряде случаев, когда условия жесткого контакта (1.5) нарушаются, может иметь место проскальзывание слоев. Если при этом силы трения малы и их можно не учитывать, следует использовать модель идеального проскальзывания, которая для поверхности  $r = r_l$  записывается в виде

$$\sigma_r^l(r_l, \varphi) = \sigma_r^{l+1}(r_l, \varphi), \quad u_r^l(r_l, \varphi) = u_r^{l+1}(r_l, \varphi)$$

$$\tau_{r\varphi}^{*l}(r_l, \varphi) = \tau_{r\varphi}^{*l+1}(r_l, \varphi) = 0 \quad (2.1)$$

Случай, когда необходимо учитывать проскальзывание слоев, можно рассматривать как промежуточный между жестким контактом и идеальным проскальзыванием.

Выполнение условий (2.1) приводит к скачку перемещений  $u_\varphi$  на поверхности  $r = r_r$ . Так как поле перемещений, соответствующее основному напряженному состоянию является непрерывным, следовательно, функция  $u_\varphi^i$  являющаяся решением системы уравнений (1.6) должна претерпевать при переходе через поверхность скачок такой величины чтобы напряжение  $\tau_{r\varphi}^{*i}$  обратилось в нуль. В общем случае это приводит к необходимости решать многоточечную задачу для системы уравнений (1.6) с граничными условиями (1.3), (1.4) и условиями вида (1.5) или (2.1) на поверхностях контакта слоев. Решение данной задачи сводится к решению ряда двухточечных. С этой целью условия (2.1) сводятся к виду (1.5) следующим образом:

$$\sigma_r^i(r, \varphi) = \sigma_r^{i+1}(r, \varphi), \quad \tau_{r\varphi}^i(r, \varphi) = \tau_{r\varphi}^{i+1}(r, \varphi) \quad (2.2)$$

$$u_r^i(r, \varphi) = u_r^i(r, \varphi), \quad u_\varphi^{i+1}(r, \varphi) - u_\varphi^i(r, \varphi) = \Delta u_\varphi^i$$

где  $\Delta u_\varphi^i$  — пока неопределенная функция  $\varphi$ . Раскладываем далее условия (2.2) в ряды по полиномам Лежандра и их производным. Тогда

$$\Delta u_\varphi^i = \sum_{n=1}^{\infty} \Delta u_{0n}^i dP_n(\cos \varphi) / d\varphi$$

где  $\Delta u_{0n}^i$  — постоянные величины, подлежащие определению.

Таким образом, интегрируя одномерную краевую задачу для системы уравнений (1.7), получаем решение для искомых функций, в частности, для  $\tau_{r\varphi}^{*i}$ :

$$\tau_{r\varphi}^{*i} = \sum_{n=1}^{\infty} \tau_{r\varphi n}^0 dP_n(\cos \varphi) / d\varphi + \sum_{n=1}^{\infty} \tau_{r\varphi n}^i(r, \Delta u_{0n}^i) dP_n(\cos \varphi) / d\varphi$$

где  $\tau_{r\varphi n}^0$  — коэффициенты разложения в ряд по  $dP_n(\cos \varphi) / d\varphi$  функции  $\tau_{r\varphi}^0(\varphi)$ . Неизвестные постоянные находятся из линейного алгебраического уравнения

$$\tau_{r\varphi n}^i(r, \Delta u_{0n}^i) + \tau_{r\varphi n}^0 = 0 \quad (2.3)$$

После определения из (2.3)  $\Delta u_{0n}^i$ , находим окончательное решение задачи.

3. Рассмотрим задачу о распределении напряжений в изотропной неоднородной среде вокруг сферической полости при действии растягивающих напряжений  $\sigma_0$ . Модуль упругости среды является функцией  $rE = E_0(b + ar/r_0)$ ,  $E = \text{const}$ . Коэффициент Пуассона принимается постоянным  $\nu = 0,3$ . Решение задачи выполнено для различных значений радиуса  $r_N = gr_0$  ( $g = 2, 3, \dots, 11$ ) и трех вариантов  $a$  и  $b$ :  $a = 0, b = 1$ ;  $a = b = 0,5$ ;  $a = -1, b = 2$ . Отметим, что при  $a = 0, b = 1$  имеем однородную среду. Также во всех вариантах модуль упругости на поверхности полости одинаков и равен  $E_0$ .

Для однородной среды получено следующее распределение напряжений на поверхности полости

$$\sigma_\varphi^* / \sigma_0 = 2,694 - 3,652 \cos^2 \varphi, \quad \sigma_\theta^* / \sigma_0 = -0,034 - 0,921 \cos^2 \varphi \quad (r = 2r_0)$$

$$\sigma_\varphi^* / \sigma_0 = 2,137 - 2,869 \cos^2 \varphi, \quad \sigma_\theta^* / \sigma_0 = 0,122 - 0,856 \cos^2 \varphi \quad (r = 4r_0)$$

$$\sigma_\varphi^* / \sigma_0 = 2,073 - 2,771 \cos^2 \varphi, \quad \sigma_\theta^* / \sigma_0 = 0,132 - 0,831 \cos^2 \varphi \quad (r = 6r_0)$$

$$\sigma_\varphi^* / \sigma_0 = 2,050 - 2,732 \cos^2 \varphi, \quad \sigma_\theta^* / \sigma_0 = 0,135 - 0,819 \cos^2 \varphi \quad (r = 10r_0)$$

$$\sigma_\varphi^* / \sigma_0 = 2,047 - 2,729 \cos^2 \varphi, \quad \sigma_\theta^* / \sigma_0 = 0,135 - 0,817 \cos^2 \varphi \quad (r = 11r_0)$$

$d$	$p$	$q$	$m$	$n$
$h/r_0 = 0,1$				
2	-1,593	1,905	-0,046	0,358
4	-1,477	1,718	-0,021	0,262
6	-1,404	1,603	-0,007	0,206
8	-1,359	1,524	0,001	0,170
10	-1,315	1,466	0,006	0,144
$h/r_0 = 0,5$				
2	-1,125	1,132	0,013	-0,103
4	-1,078	1,075	0,016	-0,020
6	-1,057	1,051	0,016	-0,022
8	-1,045	1,038	0,015	-0,022
10	-1,037	1,030	0,011	-0,020
$h/r_0 = 1$				
2	-1,033	1,015	0,011	-0,029
4	—	—	0,010	-0,026
6	—	—	0,008	-0,022
8	—	—	0,007	-0,019
10	—	—	0,006	-0,016

Точное решение записывается следующим образом [15]:

$$\sigma_{\varphi}^*/\sigma_0 = 2,045 - 2,722 \cos^2 \varphi, \quad \sigma_{\theta}^*/\sigma_0 = 0,136 - 0,818 \cos^2 \varphi. \quad (3.1)$$

Как следует из приведенных данных, точность полученного решения возрастает с увеличением  $r_N$ . При  $r_N/r_0 = 11$  вычисленное предложенным способом решение практически совпадает с точным.

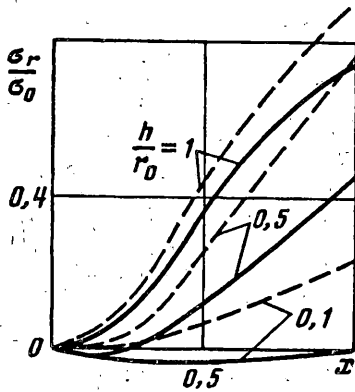
Для неоднородной среды значения напряжений на поверхности полости определяются формулами

$$\sigma_{\varphi}^*/\sigma_0 = 2,214 - 2,912 \cos^2 \varphi, \quad \sigma_{\theta}^*/\sigma_0 = 0,123 - 0,812 \cos^2 \varphi \quad (a = b = 0,5)$$

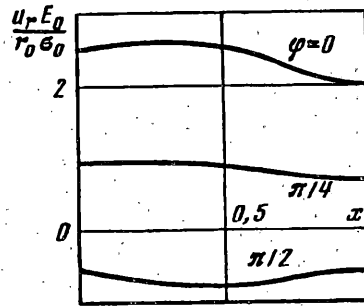
$$\sigma_{\varphi}^*/\sigma_0 = 1,852 - 2,519 \cos^2 \varphi, \quad \sigma_{\theta}^*/\sigma_0 = 0,137 - 0,805 \cos^2 \varphi \quad (a = -1; b = 2)$$

Неоднородность среды мало влияет на значения напряжений  $\sigma_{\theta}^*$ . Если модуль упругости уменьшается при удалении от полости, то напряжения  $\sigma_{\varphi}^*$  возрастают. При увеличении  $E$  имеет место обратное. Максимальные значения  $\sigma_{\varphi}^*$  в указанных случаях изменяются соответственно на 8,2% и 9,4%. На расстоянии от полости порядка ее радиуса значения напряжений практически не зависят от степени неоднородности.

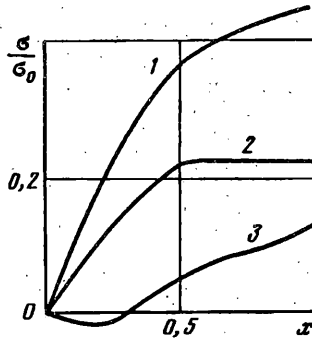
Далее рассмотрим задачу о напряженном состоянии в окрестности полости, подкрепленной сферической оболочкой толщины  $h$ . Модуль упругости материала оболочки равен  $dE_0$ , где  $E_0$  — модуль упругости среды. Коэффициент Пуассона  $\nu = 0,3$ . Вычисления проведены для  $d = 2; 4; 6; 8; 10; h/r_0 = 0,1; 0,5; 1$ . Результаты решения задачи представлены на фиг. 1 в виде распределения по толщине подкрепления в сечении  $\varphi = 0$  радиальных напряжений  $\sigma_r$  для  $d = 2$  (сплошные линии) и  $d = 10$  (штриховые линии). При этом  $x = (r - r_0)/(r - r_0 + h)$ . Приведенные данные показывают, что с увеличением толщины подкрепления и его модуля увеличиваются и радиальные напряжения. При  $h/r_0 = 1$  и  $d = 20$  на поверхности сопряжения подкрепления и среды напряжения  $\sigma_r$  близки к своим значениям на бесконечности  $\sigma_r = \sigma_0$ .



Фиг. 1



Фиг. 2



Фиг. 3

Напряжения  $\sigma_\varphi^*$  и  $\sigma_0^*$  в среде на поверхности ее контакта с подкреплением представим в виде

$$\sigma_\varphi^* = (p + q \cos^2 \varphi) \sigma_0, \quad \sigma_0^* = (m + n \cos^2 \varphi) \sigma_0 \quad (3.2)$$

Значения постоянных  $p$ ,  $q$ ,  $m$ ,  $n$  в зависимости от  $d$  и  $h$  даны в таблице. Анализ приведенных данных и их сопоставление с решением (3.1) для неподкрепленной полости показывают, что наличие подкрепления существенно снижает концентрацию напряжений. Так, если толщина подкрепления равна 0,1 радиуса полости, то максимальные значения  $\sigma_\varphi^*$  уменьшаются на 45% при  $d=2$  и 30% при  $d=10$ . Увеличение толщины подкрепления приводит еще к более существенному уменьшению  $\sigma_\varphi^*$ . Так, для  $h/r_0=0,5$  при  $d \gg 6$  максимальные значения  $\sigma_\varphi^*$  всего лишь на несколько процентов превосходят свои значения, соответствующие основному напряженному состоянию. Для  $h/r_0=1$  уже при  $d=2\sigma_\varphi^*$  практически совпадает с  $\sigma_\varphi^0$ . Аналогичные выводы можно сделать и для напряжения  $\sigma_0^*$ .

Представляет интерес рассмотреть задачу, когда между подкрепляющей оболочкой и средой находится сферический слой с упругими свойствами, отличными от свойств подкрепления и среды. Выполним решение задачи для случая изотропных материалов, имеющих модули упругости равными для среды  $E_0$ , для подкрепления  $dE_0$  и промежуточного слоя  $cE_0$ . Коэффициенты Пуассона примем равными  $\nu=0,3$ . Радиусы поверхностей контакта слоев равны  $r_1=1,1 r_0$ ,  $r_2=1,2 r_0$ . Расчеты выполнены для  $d=2$  и двух значений  $c=0,1$ ;  $0,08$ . Результаты решения для указанных значений  $c$  оказались близкими между собой, поэтому приведем их для  $c=0,1$ .

В среде на поверхности ее сопряжения с включением возникают напряжения

$$\sigma_{\varphi}^*/\sigma_0 = -1,377 + 1,538 \cos^2 \varphi \quad (3.3)$$

$$\sigma_{\theta}^*/\sigma_0 = -0,010 + 0,173 \cos^2 \varphi, \quad \sigma_r^*/\sigma_0 = -0,213 + 0,089 \cos^2 \varphi$$

Сравнивая (3.3) с (3.1), (3.2) и данными таблицы, приходим к выводу, что наличие между средой и подкреплением податливого слоя приводит к заметному уменьшению напряжений.

На фиг. 2 дано распределение радиальных перемещений  $u_r$  по толщине пакета в трех сечениях. При этом учтено, что радиальные перемещения, соответствующие основному напряженному состоянию, равны  $u_r^0(r, \varphi) = \sigma_0 r [-\nu + (1 + \nu) \cos^2 \varphi] / E_0$ . Как видно, изменение  $u_r$  по толщине не столь значительно, как  $\sigma_r$ . Наиболее заметно оно в менее жестком слое, причем там происходит его уменьшение. Значения  $u_r$  в сечениях  $\varphi = 0$ ,  $\varphi = \pi/4$  и  $\varphi = \pi/2$  отличаются знаками.

Распределение напряжений  $\sigma_r$  и  $\tau_{r\varphi}$  в некоторых сечениях  $\varphi = \text{const}$  по толщине включения представлены на фиг. 3 ( $x = (r - r_0) / (r_2 - r_0)$ ). Кривая 1 соответствует напряжению  $\tau_{r\varphi}(\pi/4)$ , а кривые 2, 3 —  $\sigma_r(\pi/2)$  и  $\sigma_r(0)$ . Из приведенных данных следует, что указанные величины изменяются по довольно сложным законам.

Отметим, что при  $\varphi = 0$  во втором слое  $\sigma_r$  изменяется по линейному закону, в то время как при  $\varphi = \pi/2$  оно практически постоянное. Распределение  $\tau_{r\varphi}$  по толщине каждого слоя близко к линейному. Отмеченные обстоятельства, по-видимому, и приводят к снижению концентрации напряжений для такой структуры включения.

#### СПИСОК ЛИТЕРАТУРЫ

1. Steruberg E. Three-dimensional stress concentrations in the theory of elasticity // Appl. Mech. Rev. 1958. No. 11. P. 1—4.
2. Neuber H., Hahn H. G. Stress concentration in scientific research and engineering // Appl. Mech. Rev. 1966. No. 19. P. 187—199.
3. Подильчук Ю. Н. Граничные задачи статики упругих тел. Киев: Наук. думка, 1984. 304 с.
4. Механика композитных материалов и элементов конструкций. Т. I. Механика материалов / Гузь А. Н., Хоросун Л. П., Ванин Т. А. и др. Киев: Наук. думка, 1982. 368 с.
5. Ванин Г. А. Микромеханика композиционных материалов. Киев: Наук. думка, 1985. 304 с.
6. Барбакадзе В. Ш., Мурамаки С. Расчет и проектирование строительных конструкций в деформируемых средах. М.: Стройиздат, 1989. 472 с.
7. Евтушенко Б. В. Влияние неподкрепленной выработки на напряженное состояние массива с переменным модулем упругости // Горный ж., 1990. № 8. С. 30—32.
8. Канаун С. К., Кудряцева Л. Т. Упругие и термоупругие характеристики композитов, армированных однонаправленными слоистыми волокнами // ПММ. 1989. Т. 53. Вып. 5. С. 798—807.
9. Канаун С. К., Кудряцева Л. Т. Температурные напряжения в композитах со сферически-слоистыми включениями // Изв. АН СССР МТТ. 1987. № 4. С. 113—121.
10. Кирилюк В. С. Две задачи термоупругости для изотропной среды со сферическим включением при совершенном и несовершенном тепловом и механическом контакте на границе раздела сред // Теор. и прикл. мех. 1989: Вып. 20. С. 14—18.
11. Ломакин В. А. Теория упругости неоднородных тел. М.: Изд-во МГУ, 1977. 368 с.
12. Евтушенко А. А., Паук В. И. Влияние неоднородности материала на распределение напряжений вблизи тонкого упругого включения // ПММ. 1989. Т. 53. Вып. 4. С. 651—657.
13. Тимошенко С. П. Курс теории упругости. Киев: Наук. думка, 1975. 575 с.
14. Василенко А. Т., Григоренко Я. М., Панкратова Н. Д. Напряженное состояние трансверсально-изотропных неоднородных толстостенных сферических оболочек // Изв. АН СССР. МТТ. 1976. № 1. С. 59—65.
15. Лурье А. И. Теория упругости. М.: Наука, 1970. 939 с.